

広島工業大学 正員 中山 隆弘  
中国技術工業 高田 尚幸  
大阪大厚工学部 正員 小松 定夫

**[1] まえがき** 通常、構造物あるいは構造部材の疲労寿命は、定荷重疲労実験結果による  $S-N$  曲線と、耐用期間中にそれらに作用する変動応力の頻度分布により、いわゆる累積損傷則に基づいて予測されることが多い。ただこの場合、累積損傷則があくまで便宜上の仮説であることもあって、予測結果は一般にかなり大きさをばらつきを伴う。このばらつきは、応力の時間的作用経過を無視し、單に統計的な応力頻度のみによって損傷を評価しようとすると必ずしも無論原因はあるが、試験片および試験条件をほぼ同一にして中村・瀧川<sup>1)</sup>による二段式重荷重実験の結果(図1)にも見られるように、必ずしもそれだけでは十分を説明はできない。すなわち、本来材料の疲労破壊現象は、材料的立場で言えば組織敏感性に属し、本質的に統計的現象であるから、この性質を積極的に寿命評価に組入れて、はじめて上述のばらつきをより明確にし得るものと考える。事実、構造物の疲労破壊に対する従来の信頼性解析<sup>2)</sup>においても、材料の疲労寿命と確率量と見なしして理論展開がなされている。しかし物理的な諸問題は言うまでもなく、大きさの異なる応力に対する疲労寿命に、完全な従属関係が存在するとしている点など、実用的レベルの問題にも、検討の余地は残されていると思われる。このような観点から、本研究は、統計量で与えられる不規則変動応力を受ける構造部材の、耐用期間における疲労破壊に対する信頼性を考察することを目的とするが、本報告は、みらかじめ作用応力の大きさと頻度分布を与えられた構造部材の疲労破壊に対する信頼性と、疲労寿命の確率分布について考証したものである。

**[2] 不規則変動応力を受ける構造部材の疲労破壊確率** 本研究では、不規則変動応力を幾段階のステップ状の多段階応力(多段重複応力)に変換し、累積損傷則を用いることによって、定荷重疲労実験により得られる疲労寿命の確率分布を有効に利用して、構造部材の疲労破壊確率を算定する。

いま構造部材がその耐用期間中に、振幅が  $S_1, S_2, \dots, S_n$  を3応力を、それぞれ  $n_1, n_2, \dots, n_n$  回繰返し受けたものとする。また各応力に対する材料の疲労寿命を確率量とし、それぞれ  $N_1, N_2, \dots, N_n$  とすれば、Newmark らによつて定義された累積回数比  $R = \sum_{i=1}^n n_i/N_i = \sum_{i=1}^n n_i/N_1$  ..... (1) も同様に確率量になる。確率論によれば、  $N_1$  の確率密度関数  $f_{N_1}(N_1)$  によつて、  $N_i = n_i/N_1$  の密度関数  $f_{N_i}(R_i)$  は次式で与えられる。 $f_{N_i}(R_i) = n_i^2/R_i \cdot f_{N_1}(n_i/R_i)$  ..... (2) ここで  $N_i$  と  $N_j$  ( $i \neq j$ ) を便宜上独立な確率変数であるとすれば、  $R_i$  と  $R_j$  ( $i \neq j$ ) も互いに独立な確率変数となり、したがつて  $R$  の密度関数  $f_R(R)$  は、  $f_{N_i}(R_i)$  ( $i = 1 \sim n$ ) を用いて convolution によつて次式から求めることができる。

$$f_R(R) = \int_0^\infty f_{Z_{n-2}}(R-t) f_{N_1}(t) dt \quad \dots \dots \dots (3) \quad \text{式中 } f_{Z_{n-2}}(Z_{n-2}) = \int_0^\infty f_{Z_{n-3}}(Z_{n-2}-t) f_{N_{n-1}}(t) dt, \dots \dots \dots$$

$f_{Z_2}(Z_2) = \int_0^\infty f_{Z_1}(Z_2-t) f_{N_2}(t) dt, f_{Z_1}(Z_1) = \int_0^\infty f_{N_1}(Z_1-t) f_{N_2}(t) dt, Z_i = R_i + R_{i+1}, Z_i = Z_{i-1} + R_{i+1}$  ( $i = 2 \sim n-2$ ) である。また Newmark らは、  $R$  がある損傷度 D に達したとき疲労破壊が発生するものとしているが、ここでもその考え方によれば、部材の疲労破壊確率は、  $P_D = \int_0^\infty f_R(R) dR$  ..... (4) を計算することによって得られる。

**[3] 数値計算例および考察** 一定荷重に対する疲労寿命が2つの母数、すなわち尺度母数と形状母数とによって規定されるワイブル分布を示し、各応力の作用頻度が図2のように与えられる4段重複応力を受ける構造部材を想定して、数値計算を実施した。このとき任意応力レベルにおける疲労寿命の尺度母数については、広い応力範囲で実施されているとの理由によって、E. Ravilly<sup>3)</sup> が行なつた鉄線のねじりに対する疲労実験結果より、新

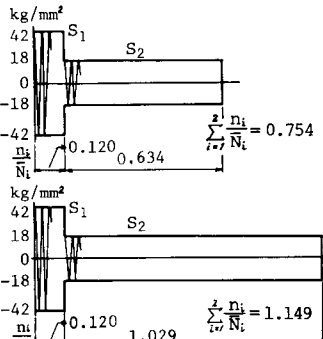


図1 二段式重荷重実験による疲労寿命のばらつき(S35C材)

たに最尤法によって決定した値を用い(図3), 形状母数については、実験データとは異なるが、今回は寿命のばらつきの大きさが応力レベルには無関係で一定である場合の問題に範囲を絞り、応力レベルにいかわらず3.0と設定した。また4段階の応力については、表1のように定めた。なお図2における $n_t$ は作用応力の全繰返し数を、 $n_1, n_2, n_3, n_4$ は、それぞれ応力 $S_1, S_2, S_3, S_4$ の作用頻度を、 $C_1, C_2, C_3, C_4$ はそれらの割合を示すもので、とりあえず $C_1 : C_2 : C_3 : C_4 = 3 : 4 : 5 : 6$ とした。

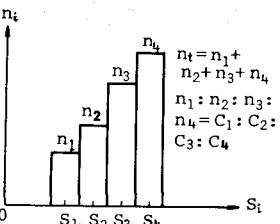


図2 作用応力の頻度分布

さて図4は、Minerの仮説にしたがつて、損傷度Dが1に達したとき疲労破壊が生ずるものとして求めた、各応力モデルに対する作用応力の全繰返し数 $n_t$ と疲労破壊確率 $P_f$ との関係を示したものである。図中の各 $n_t \sim P_f$ 曲線上の○印は、各応力レベルにおける疲労寿命 $N_f$ として、平均値(1より非超過確率が50%の値) $\bar{N}_f$ を採用し、Miner則によって求めた各応力モデルに対する疲労時までの繰返し数を示す。これによれば、多段重複応力を受ける部材が、○印で与えられる寿命の予測値以下の繰返し数で破壊に至る確率は0.80強であり、Yao(文献4)で設けた仮定、すなわち「各応力レベルにおける疲労寿命 $N_f$ として、非超過確率が10%」に相当する値 $N_{f,10}$ を用いてMiner則によって推定した多段重複応力に対する疲労寿命は、やはり非超過確率が10%に相当するようである」とする仮定と、かなり違った結果を示している。これは $N_f$ と $n_t$ が互いに独立な確率変数であるとしたことに帰因するのかもしれないが、ともかく上述の仮定については、物理的、確率論的な立場からの検討が必要であろう。次に図5は、 $n_t$ と $P_f$ との関係をワイル確率紙上にプロットしたものであり、各応力モデルのいずれについても、各点はほとんど同一直線上にある。これはYao(文献4)によって得られた、一定繰返し荷重に対する部材の疲労寿命が対数正規分布を示すと、重複荷重による寿命も対数正規分布を示すとの結論を裏付けるものであり、物理的には多くの問題を含むにせよ、実用的な観点から、今後パラメトリック計算に基づいて検討を進めてゆきたい問題の1つである。

④ あとがき 本報では便宜上多くの仮定を用いたが、その中には現状では設定せざるを得ないものも含まれている。例えば不規則疲労応力を、応力の作用順序を無視して多段重複応力に置換する等である。これに対し、異なる応力レベルにおける疲労寿命の相関性(すなわち $N_f$ と $N_f(i+1)$ との相関性)およびばらつきの大きさ等に対する検討は当面の課題であり、それによって、本研究の結果とYao(文献4)による結果との一致点あるいは不一致点に対しても、より考察を深めることができるものと思われる。

#### (参考文献)

- 1) 中村・攝川: 最小の $\Sigma(n_i/N_f)$ の値をもつ応力パターンに関する一実験、日本機械学会論文集、36巻287号、1970年7月
- 2) 例えば前田・宮村: 道路橋安全性の確率論的検討、第19回構造・構造工学研究発表会論文集、1972年12月
- 3) A.M. Freudenthal: Planning and Interpretation of Fatigue Tests, ASTM, STP121, 1957年6月
- 4) J.T.P. Yao: Fatigue Reliability and Design, Jour. of Structural Div., Vol.100, No. ST9, 1974年9月

表1 応力モデル 単位 kg/mm<sup>2</sup>

model level	A	B	C	D
1	31.0	26.0	22.0	18.5
2	28.0	23.5	19.9	16.8
3	25.0	21.0	17.7	14.9
4	22.0	18.5	15.6	13.1

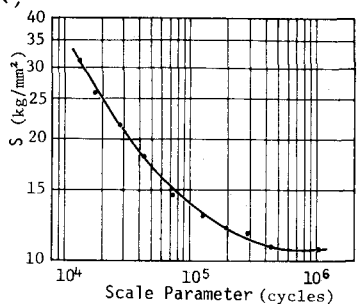


図3 応力レベルと尺度参数との関係

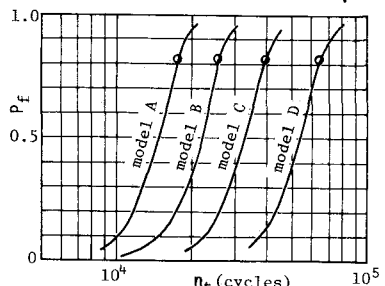


図4 作用応力の全繰返し数と疲労破壊確率との関係

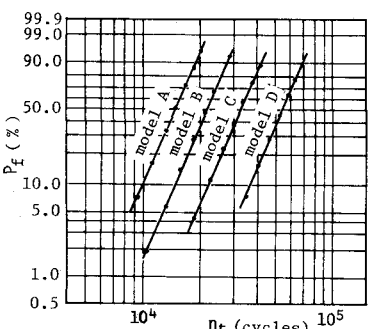


図5 ワイル確率紙上にプロットした重複荷重による部材の疲労寿命